



丛代数一瞥



Remark 本文仅草率地引入若干例子, 以介绍丛代数中的初等议题. 例如以下例子

Example 0.1 考虑序列 $\{x_n\}_{n \in \mathbb{Z}_{\geq 0}}$, 其中

- $x_0 = x_1 = x_2 = x_3 = 1$;
- $x_{n+4} = \frac{x_{n+1}x_{n+3} + x_{n+2}^2}{x_n} (n \in \mathbb{Z}_{\geq 0})$.

序列 $\{x_n\}_{n \in \mathbb{Z}_{\geq 0}}$ 被称为 Simos-4 序列, 其前几项为

1, 1, 1, 1, 2, 3, 7, 23, 59, 314, 1529, 8209, 83313, 620297, 7869898, ...

Theorem 0.2 我们观察到 Simos-4 序列为正整数序列. 证明从略.

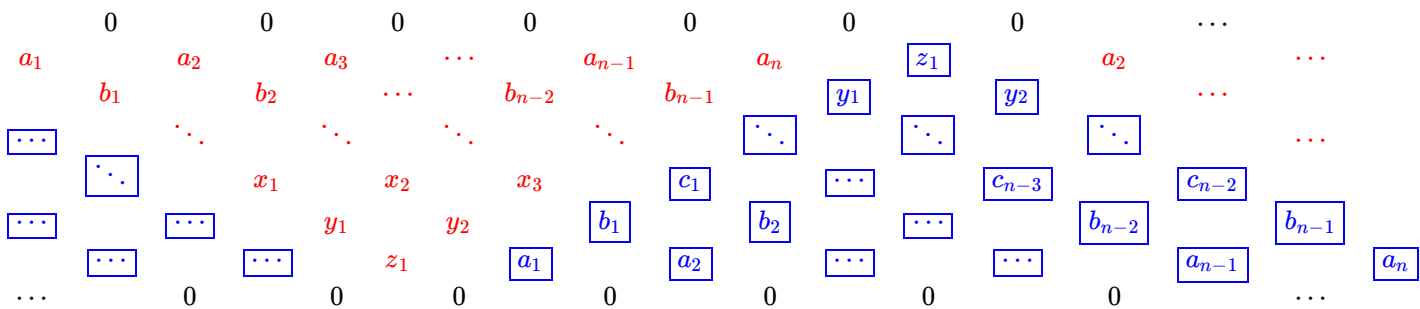
[Frieze 铺砌](#)

[Quivers](#)

[矩阵表示](#)

Frieze 铺砌

Definition 1.1 定义 n 阶 Frieze 铺砌为以下 $n + 1$ 横行组成的周期数组,



其中

- 首末两行为 0, 次首末两行为 1, 即 $a_1 = a_2 = \dots = a_n = z_1 = 1$;
- 除首末两行, 一切元素为正整数;
- 蓝色(框内)三角形的第 k 行与红色(未框出)三角形的第 $n + 1 - k$ 行相等;
- 任一 2×2 的 \diamond 形数阵等同于 $\mathfrak{sl}_2(\mathbb{Z})$ 中的某一元素, 即

$$\forall \begin{bmatrix} & b & \\ a & & d \\ & c & \end{bmatrix}, \det \begin{pmatrix} a & b \\ c & d \end{pmatrix} = 1.$$

Example 1.2 以下为某一 7 阶 Frieze 铺砌

0	0	0	0	0	0	0	0	0	0	0	0	0	0	0	0
	1	1	1	1	1	1	1	1	1	1	1	1	1	1	1
1	2	2	3	1	2	4	1	2	2	3	1	2	3	1	
	1	3	5	2	1	7	3	1	3	5	2	1	3	2	
2		1	7	3	1	3	5	2	1	7	3	1			
	1	2	4	1	2	2	3	1	2	4	1				
1		1	1	1	1	1	1	1	1	1	1	1	1	1	1
	0	0	0	0	0	0	0	0	0	0	0	0	0	0	0

Definition 1.3 称 Frieze 铺砌含有丛, 若且仅若次首与次末行被若干 1 相连. 例如 **Example 1.4** 所表示的 Frieze 铺砌包含丛 (连接次首末两行的某些 1 被框出).

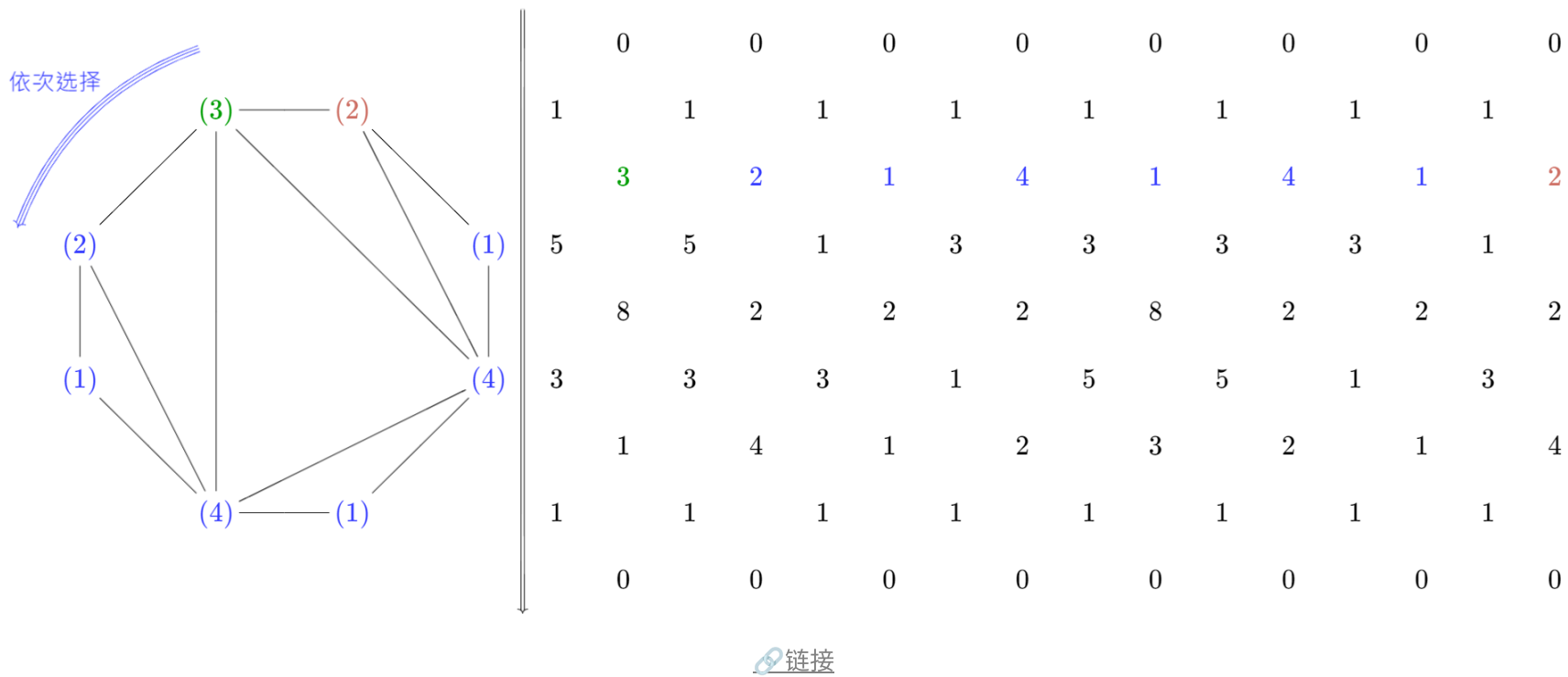
Example 1.4 实际上, 我们可以求出 n 阶 Frieze 铺砌的所有形式. 如 $n = 5$ 时待定系数如下

$$\begin{array}{cccccccc} 0 & & 0 & & 0 & & 0 & & 0 \\ & 1 & & 1 & & 1 & & 1 & \\ a & & \frac{b+1}{a} & & \frac{a+1}{b} & & b & & \frac{a+b+1}{ab} & & a \\ & b & & \frac{a+b+1}{ab} & & a & & \frac{b+1}{a} & & \frac{a+1}{b} & \\ 1 & & 1 & & 1 & & 1 & & 1 & & 1 \\ & 0 & & 0 & & 0 & & 0 & & 0 & \end{array}.$$

注意到构成 cluster 若且仅若 $\frac{b+1}{a}$ 与 $\frac{a+1}{b}$ 均为整数, 从而解得

$$(a,b) = \{(1,1), (1,2), (2,1), (2,3), (3,2)\}.$$

Theorem 1.5 n 阶 Frieze 铺砌的第三行同构于正 n 边形三角化后个顶点处三角形数量之总和之排列.



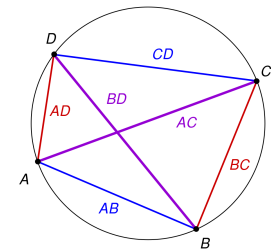
证明见[此处](#).

Theorem 1.6 正 m 边形两两不同的三角化方法数为 $\frac{1}{m-1} \binom{2m-4}{m-2}$.

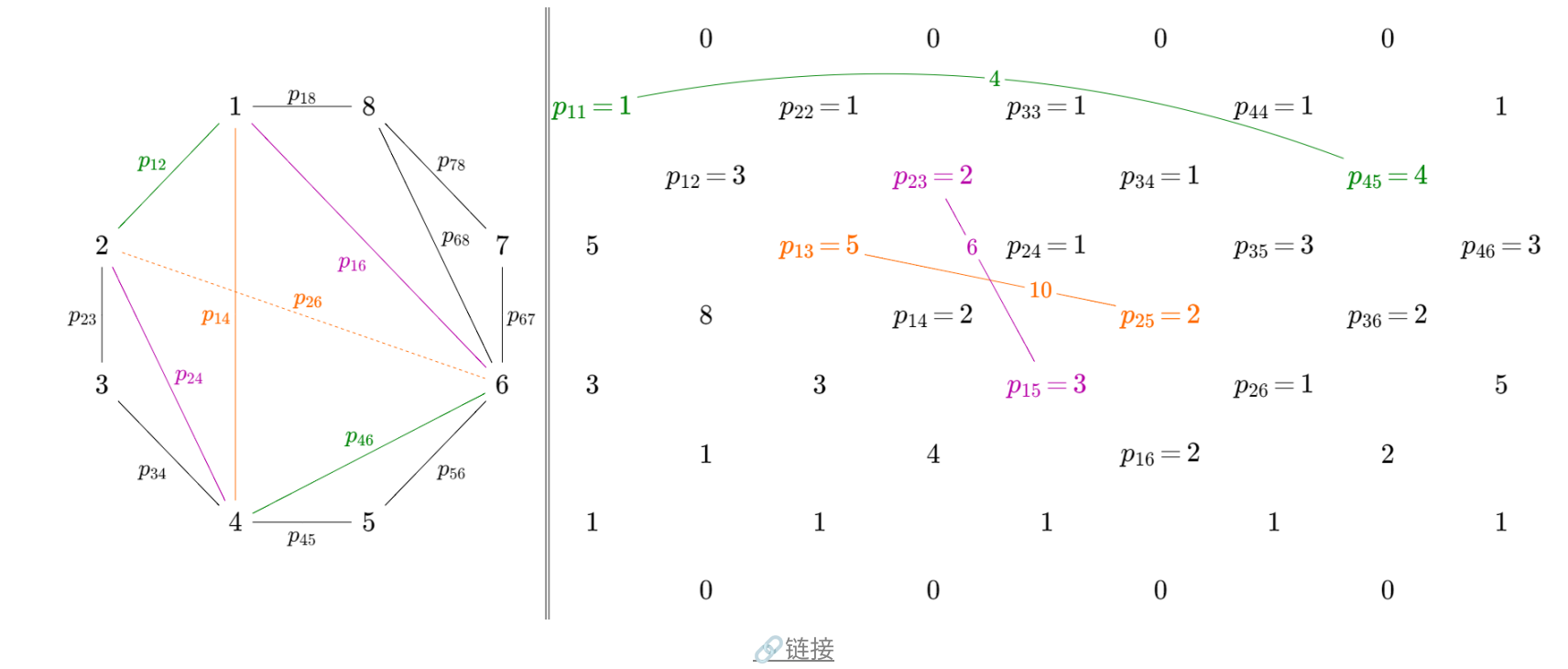
Theorem 1.7 (Ptolemy) 右图系圆内接四边形, 则

$$|AD| \cdot |BC| + |AB| \cdot |CD| = |AC| \cdot |BD|.$$

此处 $|AD|$ 即通常意义下的边长. 证明见任意一本平面几何教程.



Theorem 1.8 Frieze 铺砌满足 Ptolemy 对应, 例如下图中 $p_{12}p_{46} + p_{16}p_{24} = p_{14}p_{26}$.



Example 1.9 无穷维 Frieze 铺砌暂不在讨论之列, 例如

$$\begin{array}{cccccccccccccccc} 0 & 0 & 0 & 0 & 0 & 0 & 0 & 0 & 0 & 0 & 0 & 0 & 0 & 0 \\ & 1 & & 1 & & 1 & & 1 & & 1 & & 1 & & 1 \\ 2 & & 2 & & 2 & & 2 & & 2 & & 2 & & 2 & & 2 \\ & 3 & & 3 & & 3 & & 3 & & 3 & & 3 & & 3 \\ 4 & & 4 & & 4 & & 4 & & 4 & & 4 & & 4 & & 4 \\ & 5 & & 5 & & 5 & & 5 & & 5 & & 5 & & 5 \\ \vdots & & \vdots & & \vdots & & \vdots & & \vdots & & \vdots & & \vdots & & \vdots \end{array}.$$

Definition 1.10 Grassmann 空间 $\mathrm{Gr}_{k,m}(\mathbb{R})$ 为 \mathbb{R}^m 中 k 维子空间之集, 即商空间

$$\{A \in \mathbb{R}^{m \times k} \mid \mathrm{rank}(A) = k\} / \text{初等(纵)列变换}.$$

特别地, 可取代表元

$$\begin{pmatrix} 1 & & & & \\ & 1 & & & \\ & & \ddots & & \\ & & & 1 & \\ a_{1,1} & \cdots & \cdots & \cdots & a_{1,k} \\ \vdots & & & & \vdots \\ a_{n-k,1} & \cdots & \cdots & \cdots & a_{n-k,k} \end{pmatrix}.$$

从而可见同构 $\mathrm{Gr}_{k,m}(\mathbb{R}) \cong \mathrm{Gr}_{(m-k),m}(\mathbb{R})$.

Example 1.11 定义子空间 $\mathrm{Gr}_{2,m}^+(\mathbb{R}) \subseteq \mathrm{Gr}_{2,m}(\mathbb{R})$, 其中任意 $A \in \mathrm{Gr}_{2,m}^+(\mathbb{R})$ 的一切 2×2 子式行列式值均为正. 实际上, 判断 A 恒正与否所需的最少行列式值为 $2n - 3$. 对任意 $\begin{pmatrix} a_1 & a_2 & a_3 & a_4 \\ b_1 & b_2 & b_3 & b_4 \end{pmatrix}$, 记 $p_{ij} = \det \begin{pmatrix} a_i & a_j \\ b_i & b_j \end{pmatrix}$, 则有关系

$$p_{ik}p_{jl} = p_{ij}p_{kl} + p_{il}p_{jk} \quad (1 \leq i < j < k < l \leq m).$$

对照 **Theorem 1.8**, 计算 A 的所有 2×2 子式的行列式值仅需所有边(n 条)与三角化给出的对角线($n - 3$ 条) 即可.

Definition 1.12 **Example 1.11** 中给出 $\mathrm{Gr}_{2,m}(\mathbb{R})$ 的一种恒正条件. 先定义 $\mathfrak{sl}_n(\mathbb{R})$ 上的旗恒正条件如下, 记 $J = \{i_1, \dots, i_k\} \subseteq \{1, \dots, n\}$, 则 $A \in \mathfrak{sl}_n(\mathbb{R})$ 旗恒正若且仅若一切

$$\det \begin{pmatrix} a_{1,i_1} & a_{1,i_2} & \cdots & a_{k,i_k} \\ a_{2,i_1} & a_{2,i_2} & \cdots & a_{k,i_k} \\ \vdots & \vdots & \ddots & \vdots \\ a_{k,i_1} & a_{k,i_2} & \cdots & a_{k,i_k} \end{pmatrix} > 0.$$

其中 $1 \leq k \leq n$, 不妨假定 $i_1 < i_2 < \cdots < i_k$.

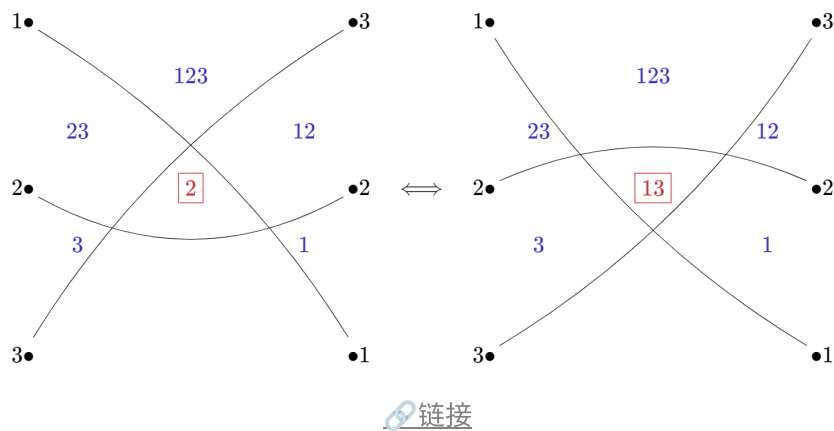


Remark 可以注意到, $(\det(a_{t,i_t}) \mid 1 \leq k \leq n, J \subseteq \{1, \dots, n\})$ 在左乘 1-对角下三角矩阵下不变. 该性质可以联系 Lie 群半单表示.

Remark 称之旗恒正, 是因为对 $J_1 \subsetneq J_2 \subsetneq \cdots$, 限制在 $\{1, 2 \dots, |J_k|\} \times J_k$ 上的子矩阵之列向量空间如旗帜般包含, 如

$$\mathrm{span}\{1 \text{ 维的升旗台(点)}\} \subsetneq \mathrm{span}\{1 \text{ 维旗杆}\} \subsetneq \mathrm{span}\{2 \text{ 维旗面}\} \subsetneq \cdots.$$

Example 1.13 我们希望寻找刻画旗恒正关系的最少子矩阵数. 实际上, 观察变换



图中,

- 任意一张图左右两侧的黑点分别为 $\{1, \dots, n\}$ 的正序与倒序;
- 任意两条线有且仅有一个交点;
- 不存在交于一点的三条直线.

记 p_J 为 $\det(a_{k,i_l})_{1 \leq k, l \leq |J|}$, 则有关系 $p_{\{1,3\}}p_{\{2\}} = p_{\{1,2\}}p_{\{3\}} + p_{\{2,3\}}p_{\{1\}}$. 从而旗恒正关系所需的最少子矩阵恰好等于图中区域数量, 即 $\frac{1}{2}(n-1)(n+2)$.

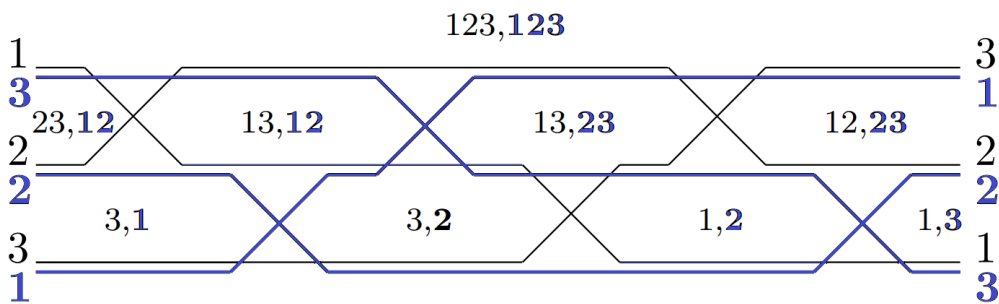
Theorem 1.14 (Muir) 若矩阵的某些子式(方阵)的行列式满足某些齐次恒等关系(如 $p_{\{1,3\}}p_{\{2\}} = p_{\{1,2\}}p_{\{3\}} + p_{\{2,3\}}p_{\{1\}}$), 则对于嵌入

$$\iota: U \hookrightarrow \tilde{U}, A \mapsto \begin{pmatrix} A & * \\ * & *_{R \times C} \end{pmatrix},$$

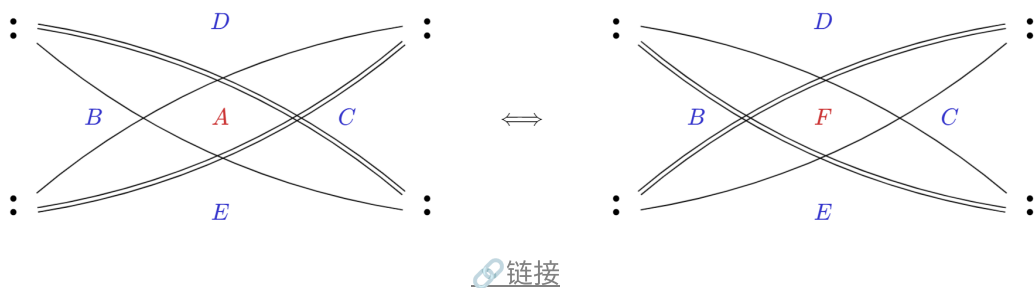
相应的恒等式在嵌入的空间中仍成立, 其中 $p_{I,J} \mapsto p_{I \dot{\cup} R, J \dot{\cup} C}$. 例如 $\mathfrak{sl}_4(\mathbb{R})$ 中

$$p_{\{1,3,4\}}p_{\{2,4\}} = p_{\{1,2,4\}}p_{\{3,4\}} + p_{\{2,3,4\}}p_{\{1,4\}}.$$

Example 1.15 将旗恒正关系推广至一般情形, 即判断 $A \in \mathfrak{gl}_n(\mathbb{R})$ 的子式行列式值($\sum_{i=1}^3 \binom{3}{i}^2 = 19$ 种)恒正所需的最少子式行列式值. 类比 **Example 1.13**, 考虑双写图表



对应的子式有 9 个. 相应的自然变换另有下图(其中, $AF = DE + BC$).



Quivers

Definiton 2.1 丛代数中的 quiver 为有向图, 其中

- 允许多重边;
- 不允许出现边数为 1 或 2 的定向环;
- 顶点分为**固定的**与**可迁的**两类.
- 在运动中, 固定点间的连边被保留, 即一切活动在所有可迁点及其箭头上进行.

Definition 2.2 固定 quiver 内的可迁顶点 k , 定义 k 处的运动 μ_k 包含以下四步:

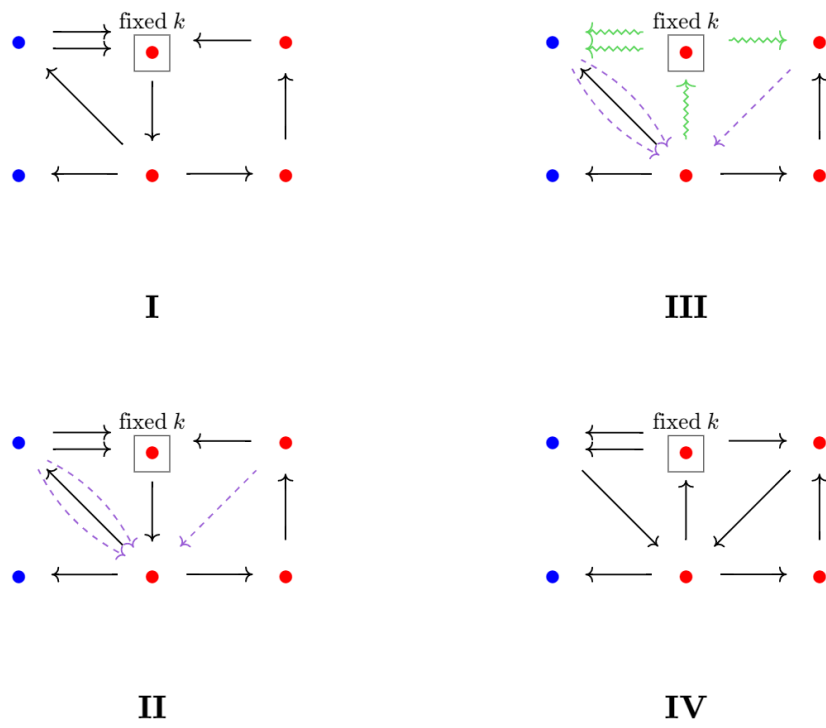
Step I. 右图即为 quiver, 左侧两个蓝色点固定, 右侧四个红色点可迁.

Step II. 若存在长度为 2 的道路 $i \rightarrow \boxed{k} \rightarrow j$, 则添边 $i \rightarrow j$. 此时暂不考虑有无既有的连边 $i \rightarrow j$.

特别地, 当 i 与 j 均不是可迁的, 则不进行任何操作!

Step III. 将 \boxed{k} 点处所有箭头反向, 如 $i \rightarrow \boxed{k}$ (resp. $\boxed{k} \rightarrow j$) 变更为 $\boxed{k} \rightarrow j$ (resp. $j \rightarrow \boxed{k}$).

Step IV. 约去边数为 2 的定向圈, 即逐一约化 $i \rightleftarrows j$ 为 $i \rightarrow j$.



[连接](#)

Theorem 2.3 $\mu_k^2 = \text{Id}$ 对一切(可迁的) k 成立. 对不相连的 i 与 j , 有对易关系 $\mu_i \mu_j = \mu_j \mu_i$.

Definition 2.4 参照 **Definition 3.2**, 定义 quiver 上的

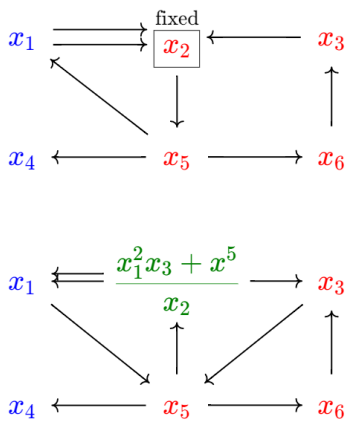
丛 \longleftrightarrow {丛变量},
 广丛 \longleftrightarrow {丛变量, 常量};
 常量 \longleftrightarrow • 固定点,
 丛变量 \longleftrightarrow • 可迁点.

Remark 对上述许多变换均可建立广丛, 例如以下几个例子.

Example 2.5 定义变换如下

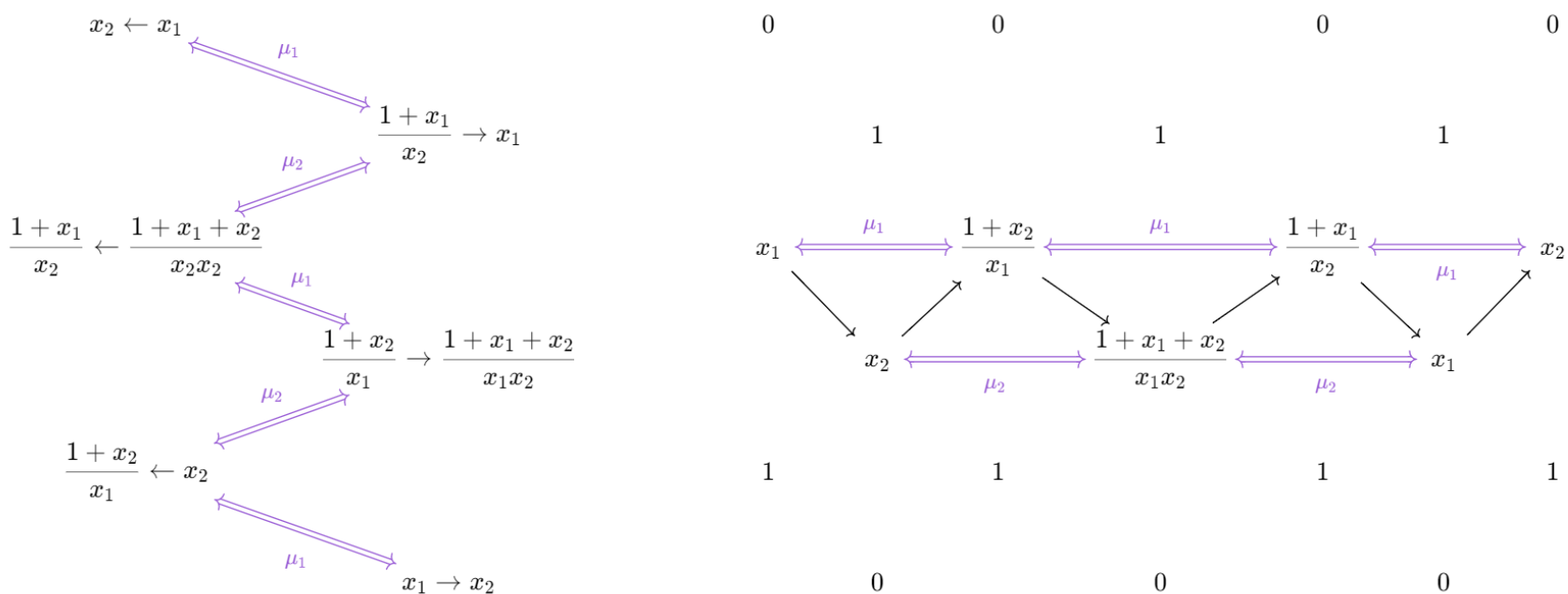
$$\begin{aligned} \mu_k : (Q, x) &\mapsto (Q', x'); \\ Q' &= \mu_k(Q), \\ x' &= (x \setminus \{x_k\}) \cup \{x'_k\}, \\ x'_k &:= \frac{\prod_{j \leftarrow k} x_j + \prod_{i \rightarrow k} x_i}{x_k}. \end{aligned}$$

从而生成若干 Laurent 多项式.



[链接](#)

特别地, Quiver $1 \rightarrow 2$ 中所有顶点可迁, 则有如下变换



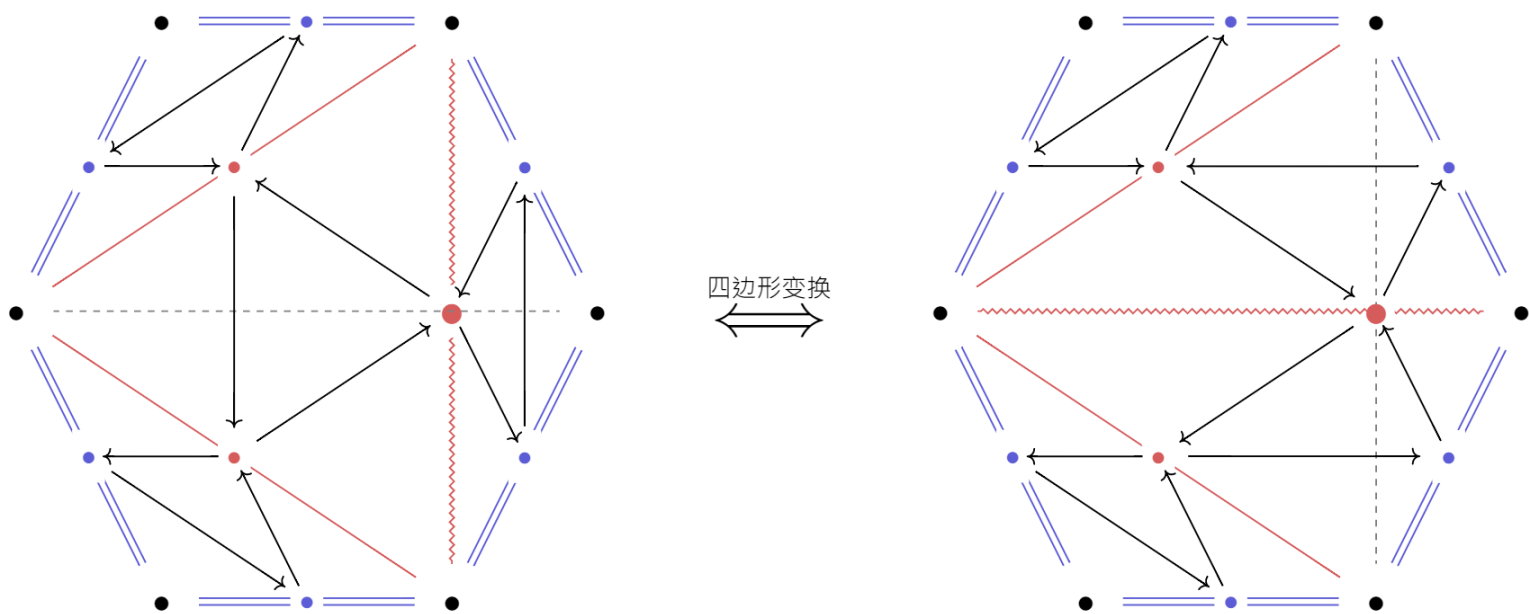
[link](#)

此处, 丛代数 $A(1 \rightarrow 2)$ 即二元有理式环 $\mathbb{C}(x_1, x_2) := \text{frac}(\mathbb{C}[x_1, x_2])$ 的子环, 生成元为

$$\chi = \left\{ x_1, x_2, \frac{1+x_1}{x_2}, \frac{1+x_2}{x_1}, \frac{1+x_1+x_2}{x_1x_2} \right\}.$$

一般地, 丛代数定义为多项式环 $\mathbb{C}[\chi, x_{n+1}, \dots, x_m]$. 其中 χ 为可迁点在有限步运动下可能生成的所有 Laurant 多项式, $\{x_{n+1}, \dots, x_m\}$ 为固定点.

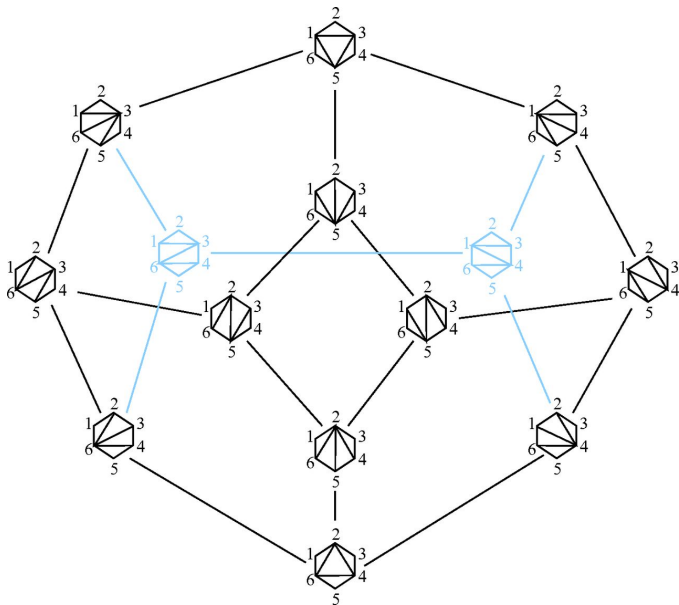
Example 2.6 正多边形三角剖分间的转化关系如下, 其中丛变量为对角线, 常量为多边形的边,



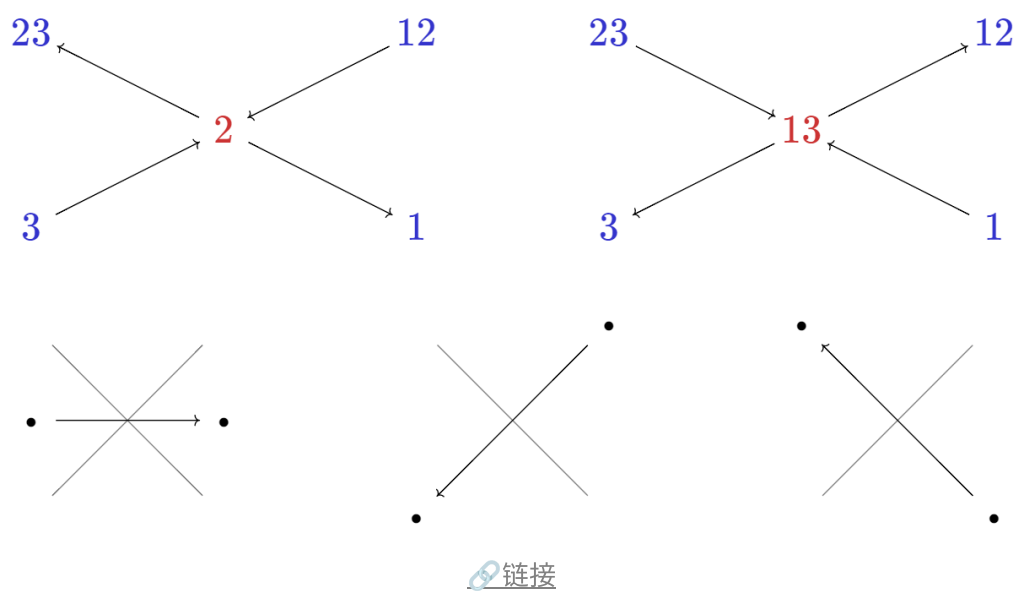
[链接](#)

其中任意三角形中的小三角统一呈逆时针相接, 任意变量处的箭头“两进两出, 方向相对”.

以下是对六边形间三角化的转化关系(区分顶点), 边表示一次运动(由于运动变换对合, 故图无向).



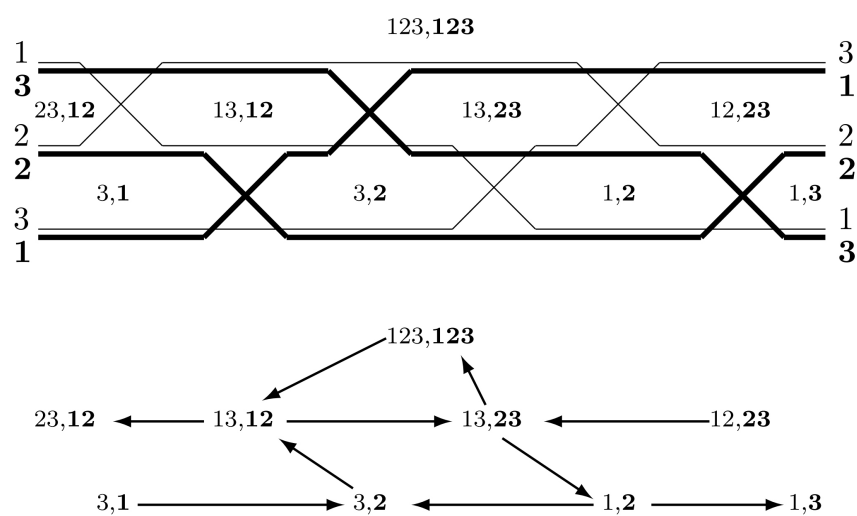
Example 2.7 Example 1.13 中的变换可表示如下, 其中下行表示连接规则.



对于 **Example 1.15** 中的双写, 可简化规则为如下. 称存在区域间的连边 $c \rightarrow c'$ 以下一者成立

$$\begin{array}{ccccc}
c'Xc & \text{L}_{<c'>\mathbf{R}}^c & \text{L}_{<c>\mathbf{R}}^{c'} & \forall <c'>\mathbf{R} & \forall <c>\mathbf{R} \\
& & & \text{L}_{<c>\forall} & \text{L}_{<c'>\forall} \\
cXc' & \text{L}_{<c'>\mathbf{R}} & \text{L}_{<c>\mathbf{R}} & \text{L}_{<c'>\forall} & \text{L}_{<c>\forall} \\
& & & \forall <c>\mathbf{R} & \forall <c'>\mathbf{R}
\end{array}$$

从而转化 **Example 1.15** 如下.



Definition 2.8 称 Q 与 Q' **运动等价**, 若他们能通过有限步运动相转化. 记等价类为 $[Q]$.

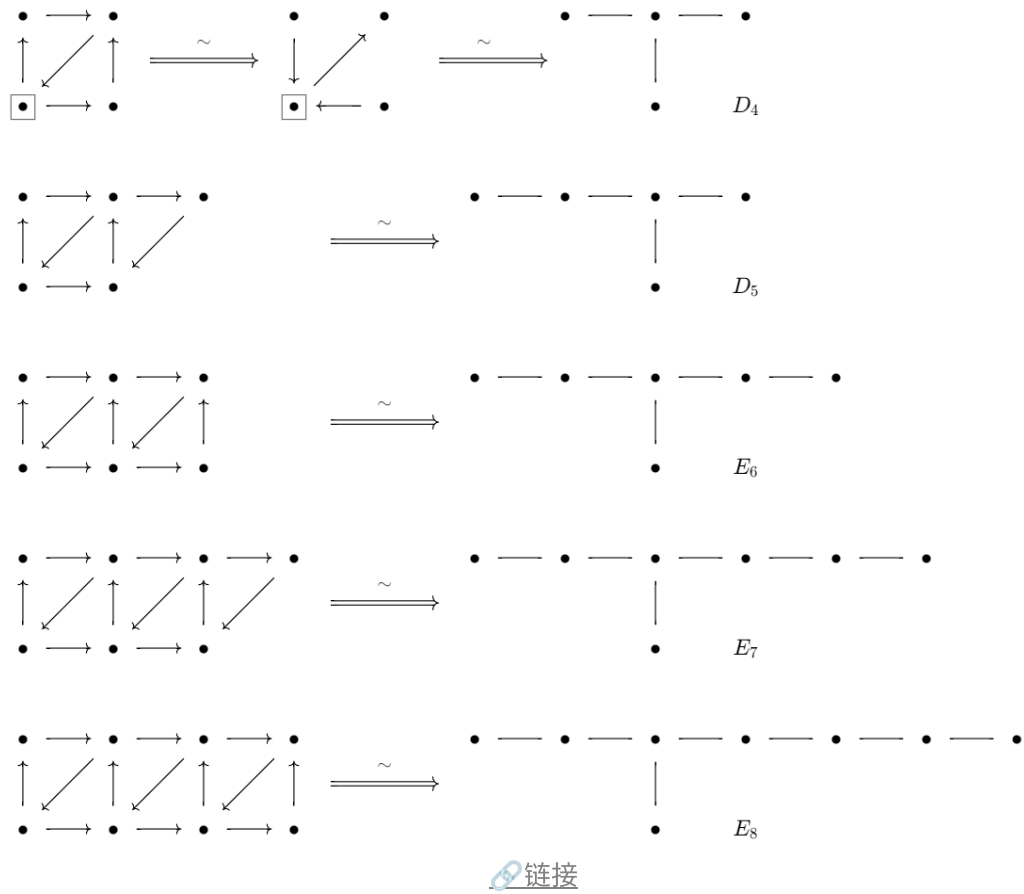
Definition 2.9 称 Q 与 Q' 由相同的**型**, 若他们在相差若干个固定点与固定边的意义下运动等价. 换言之, 他们的**可迁部分运动等价**.

Example 2.10 假定树上所有顶点可迁, 则可以通过源与汇处的运动实现所有定向图之间的转变.

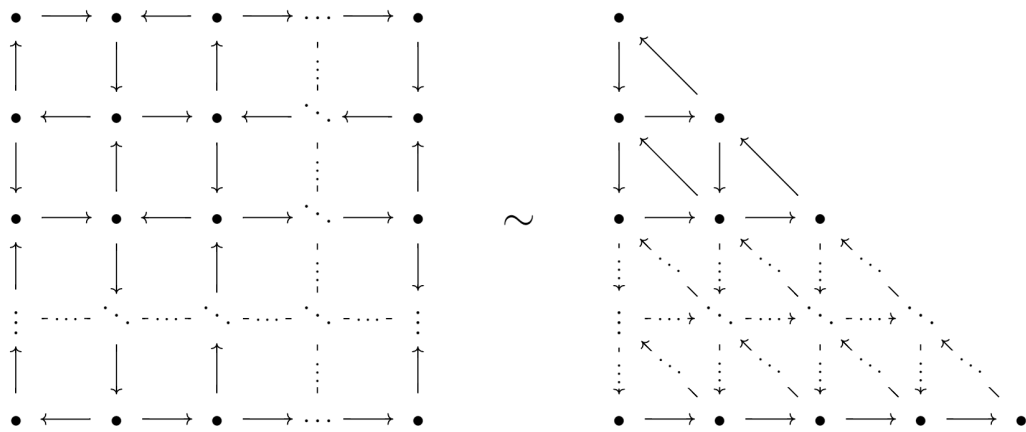


Remark 职是之故, 树即等价类.

Example 2.11 依照第一行, 类似得到格 quiver 与特殊 Dynkin 图间的转化关系.



类似地, 还有 $k \times (2k + 1)$ -型方格 quiver 与 $\binom{2k}{2}$ -型三角格 quiver 间的等价关系



矩阵表示

Definition 3.1 quiver Q 的矩阵表示为 $\tilde{B}(Q) := (b_{i,j})_{m \times n}$, 其中 $b_{i,j}$ 为 $i \rightarrow j$ 的连边数. 其中 m 行对应所有顶点, n 列对应可迁顶点. 记可迁顶点诱导的 n 阶子方阵为 $B(Q)$, 则 $B(Q)$ 反对称.

Proposition 3.2 μ_k 对应的矩阵变换为

$$b'_{ij} = \begin{cases} -b_{ij}, & (i = k) \vee (j = k); \\ b_{ij} + b_{ik}b_{kj}, & (b_{ik} > 0) \wedge (b_{jk} > 0); \\ b_{ij} - b_{ik}b_{kj}, & (b_{ik} < 0) \wedge (b_{jk} < 0); \\ b_{ij}, & \text{otherwise.} \end{cases}$$

Proposition 3.3 以下结论对 B 与 \tilde{B} 均成立: $\mu_k^2 = \text{Id}$, μ_k 和转置可易, μ_i 与 μ_j 可易即 $b_{ij} = 0$.

Definition 3.4 称 n 阶矩阵 B 为**可反对称化矩阵**, 若且仅若存在正整数 $\{1, \dots, d\}$ 使得 $d_i b_{ij} + d_j b_{ji} = 0$ 对一切 $1 \leq i, j \leq n$ 成立. 定义 B 的反对称化为 $S(B) = (\text{sgn}(b_{ij})\sqrt{|b_{ij}b_{ji}|})_{n \times n}$.

Proposition 3.5 S 与一切 μ_k 可对易.

Definiton 3.6 根据 **Proposition 3.5**, 定义

$$\Gamma : \text{可反对称化矩阵} \rightarrow \text{quivers}, B \mapsto (\text{sgn}(b_{ij}) \cdot |b_{ij}b_{ji}|)_{n \times n}.$$

例如 $\Gamma\left(\begin{smallmatrix} 0 & 1 \\ -4 & 0 \end{smallmatrix}\right) = \Gamma\left(\begin{smallmatrix} 0 & 2 \\ -2 & 0 \end{smallmatrix}\right) = (i \begin{smallmatrix} \longrightarrow \\ \longrightarrow \\ \longrightarrow \end{smallmatrix} j).$

Proposition 3.7 矩阵在运动中的不变量包括

- $\text{rank}(\tilde{B})$ 与 $\text{rank}(B)$ 在任意有限个 μ_k 的作用下不变;
- 任意可反对称化的矩阵在运动下行列式不变;
- B 中任意一横行(或纵列)中非零元的最大公约数在运动中不变.

